

## I-14 遠点法を応用した四辺固定Mindlin板の固有振動解析

北海道大学工学部 正会員 三上 隆  
 北海道大学工学部 正会員 若村 仁  
 青木建設 長谷川 康也  
 北海道大学工学部 大場 誠道

## 1. はじめに

Mindlin板の動的特性に関する研究は、従来より多くの論文が発表され、それに関する優れたReviewがLeissaらにより報告されている<sup>1)</sup>。ところで、Mindlin板の固有振動問題は4辺単純支持の場合を除いて解析的取り扱いがしばしば困難となるため、有限要素法、有限帯板法およびRayleigh-Ritz法などの多くの近似解法が提案されている。著者らも遠点法を相応する2辺が単純支持、他の2辺が任意支持の板に適用し、遠点の選択によっては少ない自由度で高精度の解が得られる効率のよい解法であることを指摘した<sup>2)</sup>。

本報告では、境界条件の異なるより広範囲の問題に適用できる解法の確立を目的に、既に提案した遠点法とKantrovichの方法の結合による近似手法を構成する。すなまろ解析過程は、2つの独立変数に関する偏微分方程式にTimoshenko梁の振動形を試験関数とするKantrovichの方法を用いて常微分方程式に変換した後、それに遠点法を適用し代数方程式に帰着させるものである。以下では、具体例として4辺固定板を取り上げ、解析過程を記述することにする。

## 2. Mindlin板の基礎方程式

解析の対象とするMindlin板は、等方等質で一様の厚さの矩形板( $L \times B, h$ )とする(図-1)。

独立変数 $x, t$ を無次元化された $\xi = x/L, \tau = t/T$ を表すことにし、たわみを $w$ 、 $x$ および $y$ 方向の回転角を $\psi$ と記せば、Mindlin板の運動方程式は以下のようになる<sup>3)</sup>。

$$\left. \begin{aligned} L_1 &\equiv L_1^* - (\rho h) \cdot \frac{\partial^2 w}{\partial t^2} = 0 \\ L_2 &\equiv L_2^* - (\rho h^3/12) \cdot \frac{\partial^4 w}{\partial t^2} = 0 \\ L_3 &\equiv L_3^* - (\rho h^3/12) \cdot \frac{\partial^4 \psi}{\partial t^2} = 0 \end{aligned} \right\} \cdots \cdots \cdots \quad (1)$$

ここに、 $\rho$  = 密度、 $T$  = 時間であり、 $L_1^* \sim L_3^*$ は次のようなるものである。

$$\left. \begin{aligned} L_1^* &= KGh(\ddot{w} + \dot{\psi}) \\ L_2^* &= \frac{\rho}{2} \left[ (1-\nu) \ddot{\psi}_x + \frac{1+\nu}{B} \ddot{\psi}_y \right] + KGh \left( \frac{\ddot{w}_x}{L} - \dot{\psi}_x \right) \\ L_3^* &= \frac{\rho}{2} \left[ (1-\nu) \ddot{\psi}_y + \frac{1+\nu}{B} \ddot{\psi}_x \right] + KGh \left( \frac{\ddot{w}_y}{B} - \dot{\psi}_y \right) \end{aligned} \right\} \quad (2)$$

ここに、 $G = Eh^3/12(1-\nu^2)$ 、 $E$  = 弾性係数

$\nu$  = ポアソン比、 $K$  = せん断修正係数。

$G$  = せん断弾性係数、 $(\cdot)_x = \partial(\cdot)/\partial x$ ,  $(\cdot)_y = \partial(\cdot)/\partial y$ ,  
 $\dot{\psi} = \frac{\partial \psi}{\partial t} + \frac{\psi_x}{B}$ ,  $\ddot{\psi} = (\ddot{\psi}_x/B^2) + (\ddot{\psi}_y/B^2)$

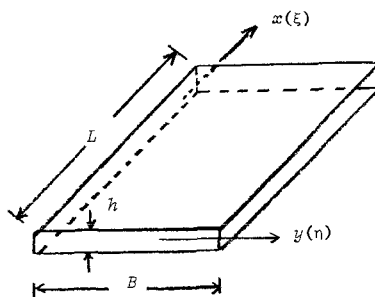


図-1 Mindlin板の座標系

## 3. 兩端固定のTimoshenko梁の固有振動数および固有振動形

$\xi = 0$  と  $\xi = 1$  で完全固定されたTimoshenko梁の固有振動数 $\omega$ とたわみ $w$ および回転角 $\psi$ 中の振動形は次のように与えられる<sup>4)</sup>。

$$\left. \begin{aligned} W &= \delta \sin b\xi + \cos b\xi \\ \psi &= \delta h \cos b\xi - h \sin b\xi \end{aligned} \right\} \quad (3)$$



$$\{\delta_e\}^T = \{f_{1,e}\}^T, \{f_{2,e}\}^T, \{f_{3,e}\}^T \quad (19)$$

$$\{\delta_e\}^T = \{f_{1,e}\}^T, \{f_{2,e}\}^T, \{f_{3,e}\}^T$$

さらに、 $[\alpha_e]$ と $[\delta_e]$ は、式(11)に現われるりの微分階数に応じて、式(5)のマトリックス $[A]$ と $[B]$ の成分で構成されるそれぞれ、 $3M \times 3M$ と $3M \times 6$ 次のマトリックスであり、 $[I]$ は $3M \times 3M$ 次の単位マトリックスである。

### b) 境界条件式 (6個の条件)

6個の条件は、 $\eta_0 = 0$  と  $\eta_{M+1} = 1$  で規定される境界条件より定まる。

後の数値例で扱う固定および単純支持は次のように与えられる。

$$\text{固定; } w = \psi_x = \psi_y = 0 \quad (20)$$

$$\text{単純支持; } w = \psi_x = M_{xy} = 0$$

$$\text{ここで, 曲げモーメント } M_{xy} = D \left[ \frac{\psi_x}{B} + \nu \frac{\psi_y}{L} \right]$$

式(20)は式(19)を用いて、次のようく表わされる。

$$\begin{aligned} \text{固定; } f_1(\eta) &= f_2(\eta) = f_3(\eta) = 0 \\ \text{単純支持; } f_1(\eta) &= f_2(\eta) = f_3(\eta) = 0 \end{aligned} \quad (21)$$

従って、固定と単純支持の組み合わせに対して得られる6個の条件は、式(15-a), 式(21)より次のマトリックスで表示される。

$$[\beta_e]\{\delta_e\} + [\beta_e]\{\delta_e\} = \{0\} \quad (22)$$

ここで、 $[A_e]$ と $[\beta_e]$ はそれぞれ、 $6 \times 3M$ と $6 \times 6$ 次のマトリックスである。

以上、式(18)と式(22)によってすべての条件が表わされた。これら2つの式から $[\delta_e]$ を消去すれば、次式で表わされる固有値問題となる。

$$[\alpha_e]\{\delta_e\} + \Omega [I]\{\delta_e\} = \{0\} \quad (23)$$

ここに、 $3M \times 3M$ 次のマトリックス $[\alpha_e]$ は次のようにある。

$$[\alpha_e] = [\alpha_e] - [\delta_e][\beta_e]^T[\beta_e] \quad (24)$$

## 6. 数値計算例

数値例は、せん断補正係数 $K = \pi^2/2$ 、ポアソン比 $\nu = 0.3$ とした。なお、境界条件は次のように表示して表わす。例えば C C C S は、辺 $x=0$ ,  $y=0$ ,  $x=L$  および  $y=B$  の順にそれぞれ、固定、固定、固定および単純支持を表わす。

### 1) 内部選点数Mの解の収束性に与える影響

表-1に4辺固定(C C C C)の正方形板( $L/B=1$ ,  $\eta/L=0.1$ )に対する収束性の検討を示す。結果は  $M \geq 9$  について示したが、X, Y 方向の半波形の数 $m$ ,  $n$  のいずれの組み合わせに対しても良好な収束性が認められる。なお、表には参考のために、Dawe<sup>5)</sup>によるRayleigh-Ritz 法の結果およびそれに対する本計算値の相対誤差(%)を併せて示した。Rayleigh-Ritz 法の結果は厳密解の上界値を与えることおよび本計算値の相対誤差が0.00~0.40%の範囲にあることから、選点法と Kantorovich の方法の組み合わせよりなる本解析法の結果は、厳密解の上界をほぼ与えている。

表-1 解Ωの収束性の検討 ( $CCCC$ ,  $L/B=1$ ,  $\eta/L=0.1$ )

Mode $m$	$\Omega$ $n$	(1)	(2)	(3)	(4)	(5)	$\epsilon$ $\epsilon = \frac{(5)-(4)}{(5)} \times 100$
		Present $M=9$	Present $M=10$	Present $M=11$	Present $M=12$	Dawe	
1	1	1.593	1.593	1.593	1.593	1.588	0.31%
2	1	3.042	3.042	3.042	3.042	3.029	0.40%
1	2	3.031	3.031	3.031	3.031	3.029	0.00%
2	2	4.260	4.260	4.260	4.260	4.256	0.09%
1	3	5.038	5.038	5.038	5.038	5.040	0.04%

表-2 解Ωの既往研究との比較 (CSCS,  $L/B=1.0$ )

$h/L$	Mode $m$	$n$	Solution procedure		F.S.M.
			Collocation method	Present	
0.1	1	1	1.308	1.300	1.300
	2	1	2.420	2.394	2.394
	1	2	2.893	2.884	2.885
	2	2	3.870	3.839	3.839
	3	1	4.269	4.231	4.232
	1	3	4.943	4.935	4.936
0.01	1	1	0.1414	0.1411	0.1411
	2	1	0.2683	0.2668	0.2668
	1	2	0.3378	0.3376	0.3376
	2	2	0.4618	0.4604	0.4608
	3	1	0.5008	0.4977	0.4977
	1	3	0.6279	0.6279	0.6279

表-3 解Ωの既往研究との比較 (CCCS,  $L/B=1.0$ )

$h/L$	Mode $m$	$n$	Solution procedure		F.S.M.
			Present	F.S.M.	
0.1	1	1	1.429	1.423	
	2	1	2.720	2.705	
	1	2	2.954	2.953	
	2	2	4.055	4.054	
	3	1	4.978	4.976	

## 2) 本解析法の精度の検討 (他の解法との比較)

本解析法の精度を再度確認する意味で、単純支持された相対する2辺の方向の解に Lévy 型の解を採用した選点法<sup>2)</sup>と有限帯板法(F.S.M.)<sup>4)</sup>との比較を、 $\lambda/L = 0.1$  と 0.01 の条件 CCCC と CS-C-S の正方形板をモデルに行う。

表-2 に M=11 を用いた数種の  $m, n$  の組み合せに対する固有振動数を示す。文献2)および文献6)の結果はほぼ同一であるので、これらを厳密解とみなせば、本解析値は厳密解の上界を与える。相対誤差は 0.00~1.00% の範囲である。

表-3 は、同様な目的から、条件 CCCC-S の正方形板 ( $\lambda/L = 0.1$ ) に対する本解析値と F.S.M.<sup>4)</sup> の結果とともに整理したものである。得られた解の傾向は、先の条件 CCCC および CS-C-S の場合に同様である。

以上のことから、本手法により算定した固有振動数は、厳密解の上界値を与えるものと思われる。

## 3) 各種の $\lambda/B$ と $\lambda/L$ を持つ4辺固定 Mindlin 板の固有振動数

表-4 に、 $\lambda/B = 2.0, 1.0, 0.5$  および  $\lambda/L = 0.01, 0.05, 0.10, 0.15, 0.20$  の4辺固定板の固有振動数を示す。計算には、M=11 を用いた。

## 7. まとめ

以上に、選点法と Kantrovich の方法の結合による Mindlin 矩形板の固有振動解析法を提示し、4 辺固定板を含む数値例を通じて提示した解法の特性および有効性を明らかにした。本解法の基礎的な特性を要約すると次のようになる。

本解析法は、比較的少ない内部選点数により十分な精度の解(既往の研究結果と比較して、相対誤差 1% 以内)を与える。また、得られた解は数値例より判断する限り、厳密解の上界である。

## 参考文献

- 1) Leissa, A.W., Vibration of plates, NASA SP-160, U.S. Govt. Printing Office, 1969.; Recent research in plate vibrations, 1973-1976: complicating effects, Shock Vib. Dig., Vol. 10, pp. 21-35, 1978.; Plate vibration research, 1976-1980: complicating effects, Shock Vib. Dig., Vol. 13, pp. 19-36, 1981.
- 2) Mikami, T. and Yoshimura, J., Application of the collocation method to vibration analysis of rectangular Mindlin plates, Comput. Struct., Vol. 18, pp. 425-431, 1984.
- 3) Mindlin, R.D., Influence of rotary inertia and shear on flexural motions of isotropic elastic plates, J. Appl. Mech., Vol. 18, pp. 31-38, 1951.
- 4) Huang, T.C., The effect of rotatory inertia and of shear deformation on the frequency and normal mode equations of uniform beams with simple conditions, J. Appl. Mech., Vol. 28, pp. 579-584, 1961.
- 5) Dawe, D.J. and Roufaeil, O.L., Rayleigh-Ritz vibration analysis of Mindlin plates, J. Sound Vib., Vol. 69, pp. 345-359, 1980.
- 6) Dawe, D.J., Finite strip models for vibration of Mindlin plates, J. Sound Vib., Vol. 59, pp. 441-452, 1978.
- 7) Roufaeil, O.L. and Dawe, D.J., Vibration analysis of rectangular Mindlin plates by the finite strip method, Comput. Struct., Vol. 12, pp. 833-842, 1980.

表-4 各種の  $\lambda/B$  と  $\lambda/L$  に対する  $\omega$  (CCCC)

$\lambda/B$	Mode $m, n$	$\lambda/L$				
		0.01	0.05	0.10	0.15	0.20
2.0	1 1	0.4794	2.223	3.758	4.654	5.181
	1 2	1.243	5.373	8.095	9.304	9.897
	2 1	0.6200	2.851	4.730	5.810	6.440
	2 2	1.382	5.921	8.868	10.20	10.88
1.0	1 1	0.1758	0.8559	1.593	2.167	2.594
	1 2	0.3589	1.713	3.042	3.940	4.527
	2 2	0.5281	2.478	4.260	5.374	6.065
0.5	2 3	0.8057	3.688	6.073	7.416	8.198
	1 1	0.1199	0.5880	1.113	1.544	1.879
	1 2	0.1554	0.7602	1.429	1.964	2.374
	2 1	0.3117	1.495	2.682	3.500	4.040
	2 2	0.3463	1.657	2.954	3.841	4.425